

---

long-short

---

Universidad Nacional de Córdoba  
Facultad de Ciencias Exáctas, Físicas y Naturales



**Proyecto Integrador de la Carrera  
Ingeniería Electrónica**

*"Diseño de un Sumador Rápido en tecnología CMOS  
submicrónica utilizando Herramientas de Software Libre"*

**Noviembre 2014**



# Índice general

---

Índice general	I
Índice de figuras	III
Índice de cuadros	V
<b>1. INTRODUCCIÓN</b>	<b>VII</b>
1.1. Estructura del Proyecto Integrador . . . . .	VII
1.2. Planteamiento del problema y motivación . . . . .	VII
1.3. Objetivo . . . . .	VII
1.4. Plan de Trabajo . . . . .	VIII
<b>I Diseño Digital</b>	<b>1</b>
<b>2. ESPECIFICACIONES DE DISEÑO</b>	<b>3</b>
2.1. Introducción . . . . .	3
2.2. Métricas de calidad . . . . .	3
2.2.1. Performance . . . . .	3
2.2.2. Potencia promedio disipada . . . . .	5
2.2.3. Área . . . . .	5
2.2.4. Resumen . . . . .	5
<b>3. DISEÑO DIGITAL</b>	<b>7</b>
3.1. Introducción . . . . .	7
3.1.1. Semisumador y sumador completo . . . . .	7
3.2. Selección de la arquitectura del sumador . . . . .	8
3.2.1. Costo, Retardo y Área de los circuitos combinacionales . . . . .	8
3.2.2. Clasificación de los sumadores . . . . .	8
3.2.3. Carry Lookahead Adders . . . . .	9
3.2.4. Desenrollando la recurrencia del acarreo . . . . .	10
3.2.5. Sumadores de Prefijo Paralelos ( <i>Parallel Prefix Adders</i> ) . . . . .	11
3.2.6. Selección de la arquitectura . . . . .	13
3.3. Implementación en Lenguaje de Descripción de Hardware . . . . .	15
3.3.1. Implementación del RCA en lava . . . . .	16
3.3.2. Patrones de conexión . . . . .	17

3.3.3.	Sumador de Brent-Kung . . . . .	18
3.3.4.	Simulación . . . . .	20
3.3.5.	Síntesis del Netlist VHDL . . . . .	21
<b>4.</b>	<b>VERIFICACIÓN FORMAL</b>	<b>23</b>
4.1.	Modelo de referencia . . . . .	23
4.2.	Verificación de las Propiedades . . . . .	24
4.2.1.	Propiedades de la suma . . . . .	24
4.2.2.	Descripción de las propiedades en el RCA . . . . .	24
<b>II</b>	<b>Diseño Físico</b>	<b>27</b>
<b>5.</b>	<b>Flujo de Diseño Físico</b>	<b>29</b>
5.1.	Introducción . . . . .	29
5.1.1.	Etapas del diseño físico . . . . .	29
5.2.	Relevamiento, comparación y selección de las herramientas disponibles . . . . .	30
5.3.	Selección del proceso de fabricación . . . . .	31
5.3.1.	Obleas multiproyectos . . . . .	32
5.4.	Selección de las Celdas estándar . . . . .	33
5.5.	Ubicación y Cableado ( <i>Place &amp; Route</i> ) . . . . .	34
5.5.1.	Métricas de Calidad de un circuito digital . . . . .	34
5.5.2.	Performance . . . . .	34
5.5.3.	Tiempo mínimo de propagación . . . . .	35
<b>6.</b>	<b>Sign Out y Tape Out</b>	<b>37</b>
<b>III</b>	<b>Comparación de resultados</b>	<b>39</b>
<b>7.</b>	<b>Comparación de resultados</b>	<b>41</b>
7.1.	Tablas comparativas . . . . .	41
<b>IV</b>	<b>Conclusiones</b>	<b>43</b>
<b>8.</b>	<b>Conclusiones</b>	<b>45</b>
<b>A.</b>	<b>NETLIST VHDL</b>	<b>47</b>
<b>B.</b>	<b>SCRIPT PERL</b>	<b>51</b>
	<b>Bibliografía</b>	<b>53</b>

# Índice de figuras

---

2.1.	Retardo de propagación de un inversor . . . . .	4
2.2.	Estimación de Potencia Promedio Disipada . . . . .	5
3.1.	Bit adders . . . . .	8
3.2.	Ripple Carry Adder . . . . .	9
3.3.	CLA 4-bits . . . . .	11
3.4.	Retardo respecto al tamaño de los operandos . . . . .	13
3.5.	Área respecto al tamaño de los operandos . . . . .	14
3.6.	Operator Punto de Brent-Kung . . . . .	15
3.7.	Generación y Propagación del Acarreo . . . . .	15
3.8.	Sumador de Brent-Kung . . . . .	16
3.9.	Red de prefijos paralelos (ejemplo de 16 bits) . . . . .	16
3.10.	Diferentes Patrones de Conexión de Circuitos . . . . .	17
3.11.	Construcción de la red de prefijos paralelos . . . . .	19
4.1.	circuito addZero . . . . .	25
5.1.	Flujo de diseño Físico . . . . .	30
5.2.	Mapeo de funciones lógicas a celdas estándares . . . . .	33
5.3.	Layout del Oscilador anillo (N=5) . . . . .	35
5.4.	Simulación con parásitos extraídos del layout de la figura 5.3 . . . . .	35
6.1.	Flujo de diseño Físico . . . . .	37

---



# Índice de cuadros

---

2.1. Especificaciones de diseño para el sumador binario . . . . .	3
2.2. Métricas de comparación . . . . .	6
3.1. Resumen Características de Sumadores . . . . .	14
5.1. Procesos disponibles por medio de MOSIS . . . . .	32
5.2. Procesecadores fabricados en CMOS 180nm . . . . .	32

---

# Capítulo 1

## INTRODUCCIÓN

---

En el presente capítulo se describe en rasgos generales el flujo para el diseño de Circuitos Integrados de Aplicación Específica (*ASIC* por su sigla en inglés), y la metodología utilizada para llevar adelante el diseño, implementación y tape out del mismo.

### 1.1. Estructura del Proyecto Integrador

Este proyecto cuenta con 4 partes: Las primeras tres partes:

?: Selección de la Arquitectura

?: Implementación Física

III: Comparación de resultados.

Estas tres partes forman un flujo de trabajo circular e iterativo.

Y finaliza con un resumen de las conclusiones, además de conjunto de anexos técnicos ubicados al final para su consulta.

### 1.2. Planteamiento del problema y motivación

En la actualidad los microprocesadores, los DSP, los microcontroladores, y otro hardware específico para cálculo computacional son desarrollados en tecnología CMOS submicrónica. El problema planteado es, ¿Cómo hacer para diseñar circuitos integrados en esta tecnología, con herramientas flexibles, libres<sup>1</sup> y accesibles para todo tipo de uso: academico y comercial?.

### 1.3. Objetivo

El objetivo del trabajo es diseñar un sumador de n-bits, por ser este el elemento central de cualquier tipo de circuito digital de cálculo: Los multiplicadores, los MAC (*multiply-accumulate*), los filtros FIR, etc, que pueda ser enviado a fabricar utilizando procesos de fabricación CMOS para circuitos integrados. Integrar y documentar un flujo de diseño de este sistema digital utilizando herramientas de Software Libre, será un subproducto de este diseño, para lograr la base de conocimiento necesaria en el diseño de circuitos integrados con tecnología CMOS. Este trabajo

---

<sup>1</sup>En el sentido que no impongan restricciones de uso, estudio, mejora y distribución.

---

además de integrar todos los procesos de diseño de un Circuito Integrado, pretende facilitar el acceso a las herramientas de diseño de circuitos integrados a los estudiantes de grado.

## **1.4. Plan de Trabajo**

# **Parte I**

## **Diseño Digital**



# Capítulo 2

## ESPECIFICACIONES DE DISEÑO

---

### 2.1. Introducción

Los sumadores binarios son utilizados en la adición, la resta, la multiplicación y la división. La velocidad de un sistema de procesamiento de señales, o un sistema de comunicación depende fuertemente de **estas unidades funcionales**(13). Para cada una de esas operaciones, son necesarios sumadores de distinta cantidad de bits en el mismo diseño. Por lo cual, no se trata solamente de encontrar la arquitectura que para una determinada cantidad de bits logre el mejor compromiso de área, potencia y velocidad. Sino que también esta relacion se mantenga óptima para diferentes tamaños del sumador.

Por estas razones, precisamos diseñar un sumador de N-dígitos que sea lo más rápido posible, manteniendo una relación de compromiso óptima entre la velocidad, consumo de energía y área del circuito. Estas características las resumimos en el cuadro 2.1.

Parámetro	Especificación
Sumandos	Dos <sup>1</sup>
Cantidad de Dígitos	Parametrizable
Proceso de fabricación	Disponible por medio de MOSIS <sup>2</sup>
Retardo de propagación	Lo mas bajo posible
Potencia total disipada	Tan bajo como sea posible
Área del Circuito	La menor posible

Cuadro 2.1: Especificaciones de diseño para el sumador binario

### 2.2. Métricas de calidad

Definiremos las métricas que nos permitan dar cuenta de la calidad del diseño.

#### 2.2.1. Performance

El término performance puede representar distintas métricas, según desde qué perspectiva se esté realizando el análisis. Pero si nos enfocamos puramente en el diseño, la performance se define usualmente(13) como la duración del período del clock (o su frecuencia). El valor mínimo

de período de clock que pueda ser usado para una tecnología y un diseño dado, está definido por múltiples factores, como el tiempo que le toma a las señales propagarse a través de la lógica (retardo de propagación), el tiempo que lleva entrar y salir los datos de los registros, la incertidumbre de llegada del reloj (*clock uncertainty*). Pero el núcleo de todo análisis de performance reside en la performance de una sola compuerta.

## Retardo de propagación

El retardo de propagación  $t_p$  de una compuerta define cuán rápido responde un circuito a un cambio en su(s) entrada(s). Expresa el retardo experimentado por una señal cuando pasa a través de una compuerta. Medido entre el 50 % del punto de transición de entrada y salida, como mostramos en la figura 2.1, correspondiente al tiempo de propagación de una compuerta inversora. Ya que el tiempo de propagación es distinto según el flanco de entrada, se definen 2 tiempos de propagación. El  $t_{pLH}$  es el tiempo de respuesta de una compuerta para una transición de la salida desde bajo a alto, mientras que  $t_{pHL}$  se refiere a el tiempo para una transición de la salida desde alto a bajo. El retardo de propagación  $t_p$  se define como el promedio de estos dos.

$$t_p = \frac{t_{pLH} + t_{pHL}}{2}$$

## Camino Crítico

En un circuito digital con varias entradas y salidas, pueden existir mas de un camino desde la entrada hasta la salida. Se suele denominar camino crítico a aquel camino que tenga el mayor retardo de propagación, ya sea por cantidad de lógica que atraviesa o por las capacidades parásitas de las conexiones. El retardo de propagación de este circuito será el retardo de propagación del camino crítico.

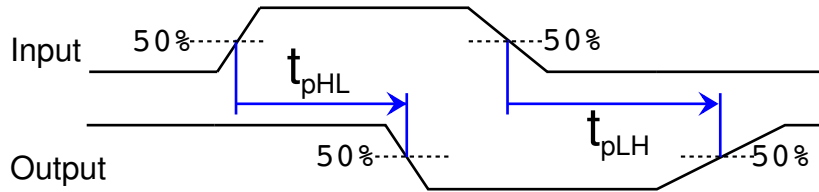


Figura 2.1: Retardo de propagación de un inversor

## Mínimo retardo de propagación

Para poder comparar la performance de distintas tecnologías, se busca un circuito que no incluya parámetros como el fan-in o fan-out, que influyen en los tiempos  $t_f$ ,  $t_r$  y  $t_f$ . Por ello, el circuito que es un estándar de facto para medir el tiempo de propagación, es el oscilador anillo (*ring oscillator*), que es un número impar de inversores conectados en serie, con la salida conectada a la entrada. Este circuito oscila espontáneamente, a una frecuencia de  $T = 2 \times t_p \times N$ , con  $N$  el número de inversores en la cadena.

Contar con esta métrica nos permitirá tener una referencia del límite inferior impuesto por la tecnología que se esté utilizando. Por ejemplo, tomemos la tecnología TSMC de 180 nm: La frecuencia de un oscilador anillo de 31 etapas es de 377,13 MHz. Es decir que el tiempo de propagación de una celda inversora en esta tecnología es  $t_p = 47,8 \text{ ps}$



---

### 2.2.2. Potencia promedio disipada

Realizamos el análisis de potencia a lo largo de un período de tiempo  $T$ . La potencia promedio disipada total la podemos calcular si conocemos la corriente instantánea que brinda la fuente de tensión  $V_{DD}$ , como podemos ver en la ecuación 2.1.

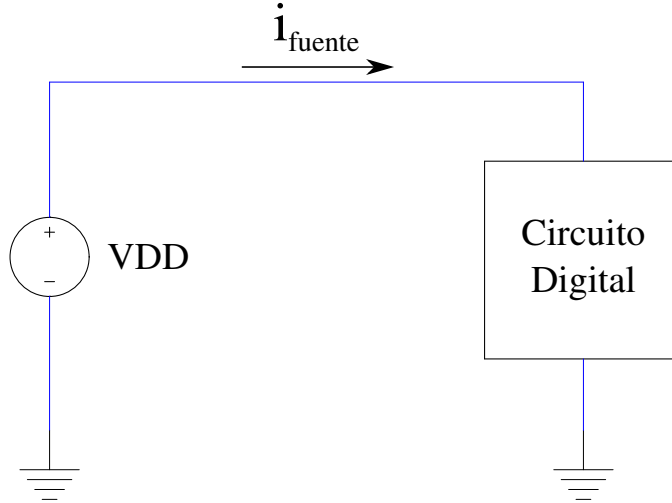


Figura 2.2: Estimación de Potencia Promedio Disipada

$$P_{av} = \frac{1}{T} \int_0^T p(t) dt = \frac{V_{DD}}{T} \int_0^T i_{fuente}(t) dt \quad (2.1)$$

El período de tiempo que tomaremos para la integral es el retardo de propagación del camino crítico.

### 2.2.3. Área

La importancia de minimizar el área de los circuitos radica principalmente en que esta impacta fuertemente en el costo de cada *die*(6), ya que el costo es una función que depende de la cuarta potencia del área del circuito(13). Además, los circuitos de menor área tienden a consumir menor energía.

### 2.2.4. Resumen

A continuación resumimos en la tabla 2.2 las métricas que utilizaremos para la comparación de las distintas arquitecturas de sumadores:



# Capítulo 3

## DISEÑO DIGITAL

---

### 3.1. Introducción

Es importante lograr sumadores binarios rápidos y eficientes según el uso de área y potencia. La suma es la operación elemental para lograr otras operaciones muy utilizadas en los circuitos aritméticos. Ejemplo de esto son los multiplicadores, la resta, división, los filtros FIR e IIR, por nombrar las más conocidas.

Para cada una de esas operaciones, son necesarios sumadores de distinta cantidad de bits en el mismo diseño. Por lo cuál, no se trata solamente de encontrar la arquitectura que para una determinada cantidad de bits logre el mejor compromiso de área, potencia y velocidad. Sino también lograr una relación de compromiso según crece la cantidad de bits del sumador.

#### 3.1.1. Semisumador y sumador completo

##### Semisumador

El **Semisumador** (Half-adder) recibe 2 bits de entradas  $a$  y  $b$  y produce un bit de suma  $s$  y un bit de acarreo  $c$ .

$$s = a \oplus b \quad (3.1a)$$

$$c = ab \quad (3.1b)$$

##### Sumador Completo

Luego definimos un Sumador Completo de un bit, o Full Adder:

Entradas: Bits de operandos  $a$ ,  $b$  y carry-in  $c_{in}$  (o  $a_i, b_i, c_i$  para la etapa  $i$ )

Salidas: Suma  $s$  y carry-out  $c_{out}$  (o  $s_i$  y  $c_{i+1}$  para la etapa  $i$ )

$$s = a \oplus b \oplus c_{in} \quad (3.2a)$$

$$c_{out} = ab + ac_{in} + bc_{in} \quad (3.2b)$$

Podemos construir un **sumador completo** (full-adder) combinando las ecuaciones del sumador y semisumador, como vemos en la figura [3.1b](#):

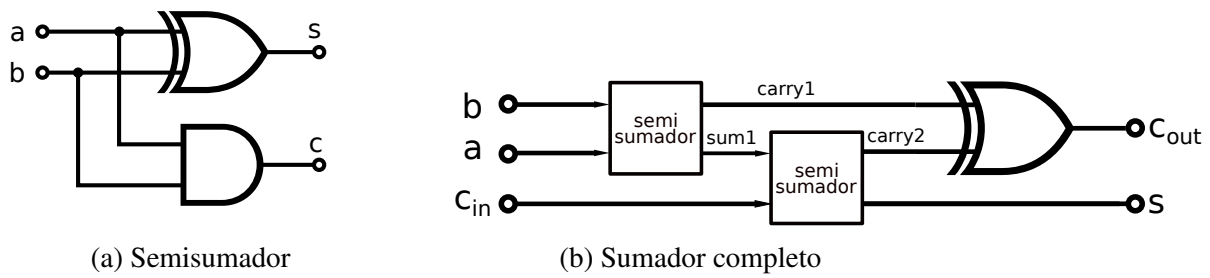


Figura 3.1: Bit adders

## 3.2. Selección de la arquitectura del sumador

Proponemos el uso de Celdas estándar CMOS (Complementary Metal Oxide Silicon) para la implementación<sup>1</sup>. El carácter de nuestro flujo de diseño así lo requiere, ya que se utilizarán herramientas de síntesis de circuitos digitales basadas en celdas estándares. Quedan entonces descartadas las implementaciones utilizando transistion gates, lógica dinámica u otro tipo de implementacion lógica.

### 3.2.1. Costo, Retardo y Área de los circuitos combinacionales

Cada circuito combinacional  $G$  tiene un costo, área y un retardo. El costo de un circuito combinacional es la suma de los costos de las compuertas en un circuito. Le asignamos un costo unitario a cada compuerta, y el costo del circuito combinacional  $c(G)$  es igual al número de compuertas en el circuito.

El retardo de un circuito combinacional  $d(G)$  se define igual al del retardo de una compuerta. Es el menor tiempo requerido para que las salidas se estabilicen, asumiendo que todas las entradas están estables. Para simplificar el análisis, se le asigna un retardo unitario a cada compuerta.

El área de un combinacional se compone por el area total (*cell area*) de las compuertas utilizadas mas el área total de todas las conexiones (*net area*).

### 3.2.2. Clasificación de los sumadores

Dentro de los sumadores paralelos, se encuentran varias arquitecturas, cada una con sus ventajas y desventajas. Hacemos una lista de algunas de ellas:

<sup>1</sup>Para ver otras posibilidades de implementación lógica, ver (FALTA CITA) RABAEY

Sumadores Binarios	
RCA	Ripple Carry Adder
CLA	Carry Look-Ahead Adder
CSkA	Carry Skeep Adder
CA	Canonical Adders
BBCLA	Block-based Look-Ahead Adders
CondSumA	Conditional Sum Adder
CSeA	Carry Select Adder
HybAd	Hybrid Adders
NPA	Network Prefixs Adders:
	Ladner and Fischer
	Kogge-Stone
	Brent-Kung
	Skalansky

### Ripple Carry Adder

Definimos el sumador Ripple Carry Adder (RCA), utilizando  $n$  sumadores completos para sumar 2 operandos de  $n$  bits. El sumador de  $n$  bits produce una salida de  $n$  bits y una salida de acarreo  $c_{out}$

Este sumador se implementa conectando como muestra la figura 3.2 el bloque `fullAdd` (Sumador Completo). El camino crítico de la señal se determina considerando el peor camino de propagación de la señal.

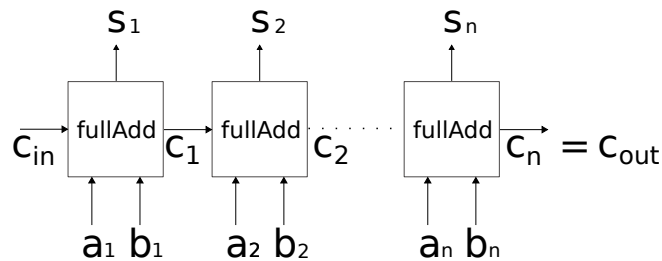


Figura 3.2: Ripple Carry Adder

El retardo del camino crítico de un sumador de  $n$  bits es:

$$T_{RCA} = (n - 1)T_m + T_{FA} \quad (3.3)$$

Siendo  $T_m$  el retardo del circuito de generación del acarreo de un sumador completo y  $T_{FA}$  el retardo de un sumador completo. Es decir, el retardo es proporcional al tamaño de los operandos.

#### 3.2.3. Carry Lookahead Adders

La clave para sumar rápido es plantear el problema de la suma como el problema de generar las señales de acarreo en el menor tiempo posible; eso queda evidenciado al interpretar la ecua-

ción 3.4. Por lo tanto, el objetivo será lograr un bloque generador de las señales de acarreo de baja latencia(12).

Ya que una vez que el acarreo en la posición  $i$  es conocido, se puede calcular la suma como:

$$s_i = a_i \oplus b_i \oplus c_i \quad (3.4)$$

Con respecto al acarreo, lo importante es si en una posición dada el acarreo se *genera* ó se *propaga*. Con las siguientes ecuaciones lógicas podemos definir esas señales:

$$g_i = a_i b_i$$

$$p_i = a_i \oplus b_i$$

Asumiendo que estas señales se han calculado y están disponibles, podemos calcular recursivamente el acarreo de la siguiente forma:

$$c_{i+1} = g_i + c_i p_i \quad (3.5)$$

quiere decir que un acarreo entrará en una etapa  $i + 1$  si este se genera en la etapa  $i$  ó entra en la etapa  $i$  y se propaga en esa etapa.

### 3.2.4. Desenrollando la recurrencia del acarreo

Uno puede desenrollar esta fórmula recursiva del acarreo hasta lograr una función que dependa directamente de los operandos ( $a$  y  $b$ ) y del acarreo de entrada  $c_{in}$ :

$$\begin{aligned} c_i &= g_{i-1} + p_{i-1}c_{i-1} \\ &= g_{i-1} + p_{i-1}(g_{i-2} + p_{i-2}c_{i-2}) = g_{i-1} + p_{i-1}g_{i-2} + p_{i-1}p_{i-2}c_{i-2} \\ &= g_{i-1} + p_{i-1}g_{i-2} + p_{i-1}p_{i-2}g_{i-3} + p_{i-1}p_{i-2}p_{i-3}c_{i-3} \\ &= g_{i-1} + p_{i-1}g_{i-2} + p_{i-1}p_{i-2}g_{i-3} + p_{i-1}p_{i-2}p_{i-3}g_{i-4} + p_{i-1}p_{i-2}p_{i-3}p_{i-4}c_{i-4} \end{aligned}$$

El proceso se repite hasta que el último término contenga  $c_0 = c_{in}$ . Podemos computar todos los acarreos en un sumador de  $k$ -bit directamente con las señales auxiliares ( $g_i, p_i$ ) y  $c_{in}$ , utilizando compuertas lógicas AND-OR con un fan-in máximo de  $k + 1$ . Para  $k = 4$ , tenemos:

$$\begin{aligned} c_4 &= g_3 + p_3g_2 + p_3p_2g_1 + p_3p_2p_1g_0 + p_3p_2p_1p_0c_0 \\ c_3 &= g_2 + p_2g_1 + p_2p_1g_0 + p_2p_1p_0c_0 \\ c_2 &= g_1 + p_1g_0 + p_1p_0c_0 \\ c_1 &= g_0 + p_0c_0 \end{aligned} \quad (3.6)$$

Aquí,  $c_4$  y  $c_0$  son los  $c_{out}$  y  $c_{in}$  respectivamente de un sumador de 4-bits. Podemos usar un bloque de acarreo basado en estas ecuaciones, y usando compuertas AND de 2 entradas para  $g_i$  y compuertas XOR de 2 entradas para  $p_i$  y los bits de suma, construimos un sumador de 4-bits. Este sumador es conocido como *carry lookahead adder (CLA)*. Notar que como  $c_4$  no se usa para calcular la suma, lo podemos obtener usando una ecuación mas simple:

$$c_4 = g_3 + c_3p_3$$

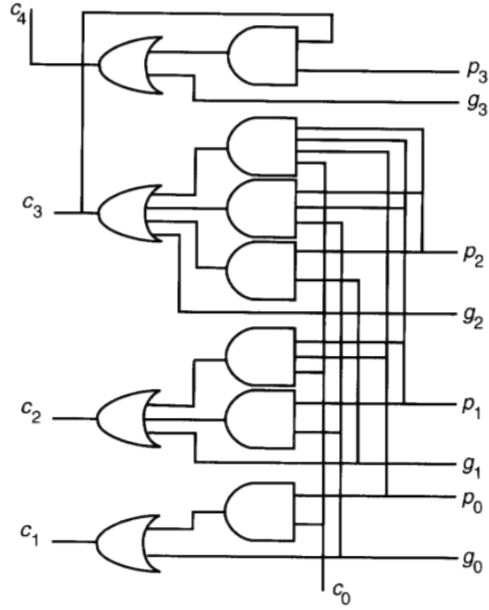


Figura 3.3: CLA 4-bits

Sin tener casi un deterioro en velocidad. La red de acarreo que resulta de estas ecuaciones la podemos ver en la figura 3.3.

Si observamos las ecuaciones 3.6, vemos que el retardo de esta red será el retardo  $T_{AND_n}$  de la mayor celda AND, mas el retardo  $T_{OR_n}$  de la operación OR de  $n$  entradas. Esto es un inconveniente, ya que según aumenta el fan-in también aumenta el retardo. El retardo de un sumador construido con esta red tendrá también el retardo  $T_p$  del cálculo de  $p$  mas el retardo de un sumador completo.

$$T_{CLA} = T_p + T_{AND_n} + T_{OR_n} + T_{FA} \quad (3.7)$$

Se pueden realizar por medio de árboles binarios una reducción a celdas con un fan-in de dos (por ejemplo), pero agregando una etapa por cada reducción, en ese caso el retardo en este circuito sería en función del  $\log_2 n$ .

### 3.2.5. Sumadores de Prefijo Paralelos (*Parallel Prefix Adders*)

En la sección anterior vimos como desarrollar ecuaciones que nos permiten obtener las señales de acarreo a partir de las señales auxiliares, para poder calcular la suma del bit  $n$ , sin esperar a que el acarreo del bit  $n - 1$  sea computado. Aunque esta solución tal cuál como la presentamos deja de ser aplicable según aumenta  $n$ , nos permite abordar el problema del cálculo de los acarreos como un problema de prefijos paralelos.

---

## Problema de Prefijos Paralelos (*Parallel Prefix Problem*)

El problema de prefijo paralelo es:

Dado:

Entradas:  $x_0, x_1, \dots, x_{k-1}$

Un operador + asociativo

Computar :  $x_0$

$x_0 + x_1$

$x_0 + x_1 + x_2 +$

$\vdots$

$x_0 + x_1 + x_2 + \dots + x_{k-1}$

## Cómputo del acarreo como un problema de prefijo paralelo

Pensemos la ecuación 3.6 de la siguiente forma, asumiendo que  $c_0 = c_{\text{in}}$  viene desde otro bloque:

$$g_{[i,i+3]} = g_{i+3} + g_{i+2}p_{i+3} + g_{i+1}p_{i+2}p_{i+3} + g_i p_{i+1}p_{i+2}p_{i+3}$$

$$p_{[i,i+3]} = p_i p_{i+1} p_{i+2} p_{i+3}$$

Podemos interpretar estas ecuaciones de la siguiente forma: las cuatro posiciones de bits propagan colectivamente un acarreo  $c_{\text{in}}$  si y solo si cada una de las posiciones propaga; y el bloque genera un acarreo si en la posición  $i + 3$  se genera uno, o se propaga en la posición  $i + 2$  y es propagado por la posición  $i + 3$ , etc.

Con este procedimiento podemos llegar a expresar una generalización muy importante, para bloques adyacentes que se superponen  $[i_1, j_1]$  y  $[i_0, j_0]$ , con  $i_0 \leq i_1 - 1 \leq j_0 < j_1$ :

$$g_{[i_0,j_1]} = g_{[i_1,j_1]} + g_{[i_0,j_0]}p_{[i_1,j_1]}$$

$$p_{[i_0,i_1]} = p_{[i_0,j_0]}p_{[i_1,j_1]}$$

Aquí,  $g_{[i_0,j_1]}$  y  $p_{[i_0,i_1]}$  son las señales que producimos de 2 bloques adyacentes ( $B''$  y  $B'$  con sus señales asociadas  $(g'', p'')$  y  $(g', p')$ ) que para simplificar la notación nos permite reescribir la anterior ecuación como:

$$g = g'' + g'p''$$

$$p = p'p''$$

Ahora entonces definimos un operador acarreo  $\circ$  para condensar estas operaciones:

$$(g, p) = (g'', p'') \circ (g', p') = (g'' + g'p', p'p'')$$

Este operador es un operador asociativo, y esto se puede demostrar utilizando la propiedad asociativa de los operadores OR y AND. Finalmente, ya tenemos un operador asociativo, y las entradas  $(g''', p'''), (g'', p''), (g', p'), \dots$  que nos permiten plantear el problema de la construcción de la red (o



bloque) de acarreo, como un problema de *Prefijos Paralelos*:

Dados:

Entradas:  $(g_0, p_0), (g_1, p_1), \dots, (g_{k-1}, p_{k-1})$

Un operador  $\circ$  asociativo

Computar :  $(G_0, P_0) = (g_{[0,0]}, p_{[0,0]})$

$(G_1, P_1) = (g_{[0,0]}, p_{[0,0]}) \circ (g_{[0,1]}, p_{[0,1]})$

$\vdots$

$(G_{k-1}, P_{k-1}) = (g_{[0,0]}, p_{[0,0]}) \circ (g_{[0,1]}, p_{[0,1]}) \circ \dots \circ (g_{[0,k-2]}, p_{[0,k-2]}) \circ (g_{[0,k-1]}, p_{[0,k-1]})$

Retomando la ecuación 3.4 de la suma, y con estas ecuaciones que nos dan las señales propagadas o generadas del acarreo, podemos construir distintos sumadores, que varían en la red de cálculo del acarreo, particularmente en cómo se elija la asociación del operador punto. La implementación mas básica (y lenta) sería la de ir asociando en serie a este operador.

PORHACER: AGREGAR GRAFICO DE UNA RED SERIE

### 3.2.6. Selección de la arquitectura

Se puede afirmar que los llamados sumadores paralelos prefijo son mejores con respecto al producto Potencia - Retardo. Aunque no hay una estructura que pueda calificarse como globalmente la mejor. Estos sumadores reducen el problema de calcular de forma paralela las señales de acarreo como el problema de un cálculo de prefijo.

Brent Kung(3), Kogge Stone (8), Ladner Fisher [3], Hans Carlson(8) y Knowles(7) son implementaciones que se diferencian en que cada caso por minimizar alguna relación de compromiso, en el espacio de diseño para minimizar retardo, area y potencia. Por ejemplo citamos un estudio que presenta los siguientes resultados de la figuras 3.4 y 3.5 de un estudio comparativo (1) para tecnología CMOS 0,13  $\mu\text{m}$ .

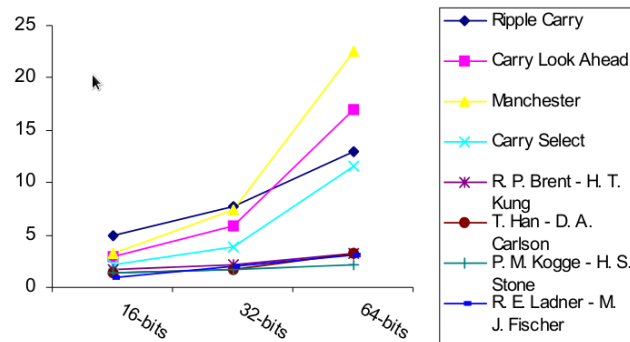


Figura 3.4: Retardo respecto al tamaño de los operandos

s

Resumimos en la tabla 3.1 las características y diferencias entre los distintos sumadores(2).

### Sumador Rápido de Brent-Kung

Para tener en cuenta el problema de la interconexión entre las compuertas de forma tal que estas sean mínimas y que el área de celdas y de conexión se minimicen, se propone el sumador

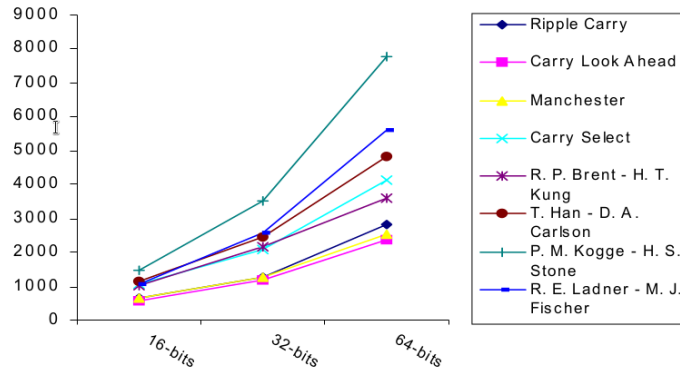


Figura 3.5: Área respecto al tamaño de los operandos  
Cuadro 3.1: Resumen Características de Sumadores

Arquitectura	Retardo Máx.	Área
Ripple Carry Adder (RCA)	$O(n)$	$O(n)$
Carry Save Adder (CSaA)	$O(\log(n))$	$O(n)$
Carry Look-Ahead Adder (CLA)	$O(\log(n))$	$O(n \log(n))$
Carry Skip Adder (CSA)	$O(n^{l+2/l+1})$	$O(n)$
Carry Increment Adder (CIA)	$O(n^{l+2/l+1})$	$O(n)$
Carry Select Adder (CselA)	$O(n^{l+2/l+1})$	$O(n)$
Ladner-Fisher	$O(\log_2(n))$	$O(n \log(n))$
Skalansky	$O(\log_2(n))$	$O(\log^2(n))$
Kogge-Stone	$O(\log_2(n))$	
Han-Carlson	Falta	Falta
Brent-Kung	$O(\log_2(n))$	$O(n \log_2(n))$

de Brent-Kung. Este sumador (3) es una versión que considera el problema de la interconexión entre las compuertas, de una forma que minimice el área, a costa de un aumento en el retardo. Esto se expresa en la función de retardo que es  $2 \log_2(n) - 2$ , a diferencia de los sumadores de Ladner-Fisher(9) y Kugge-Stone(8) que en  $\log_2(n)$  etapas calculan todos las señales de acarreo.

### Operador de Brent-Kung

El operador  $\circ$  se define<sup>1</sup> como:

$$(g, p) \circ (\hat{g}, \hat{p}) = (g \vee (p \wedge \hat{g}), p \wedge \hat{g}) \quad (3.8)$$

El operador Punto de Brent-Kung es asociativo, es decir:

$$((a, b) \circ (c, d)) \circ (e, f) = (a, b) \circ ((c, d) \circ (e, f))$$

Y por lo tanto podemos ahorrarnos los paréntesis y escribimos:

$$(a, b) \circ (c, d) \circ (e, f) \circ \dots$$

<sup>1</sup> Para respetar la notación de la bibliografía original comenzamos a utilizar la notación lógica con  $\vee$ ,  $\wedge$  y  $\oplus$  como los operadores booleanos AND, OR y XOR respectivamente

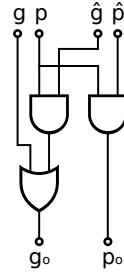


Figura 3.6: Operador Punto de Brent-Kung

### Circuito de Generación y Propagación de acarreo

Ahora necesitamos un circuito que con cada bit de entrada de los operandos  $a$  y  $b$  calcule la señal de acarreo y la de propagación:

$$g_i = a_i \wedge b_i, p_i = a_i \oplus b_i$$

Esas señales se generan en paralelo, dado dos números binarios  $a[n]$  and  $b[n]$  de longitud  $n$ .

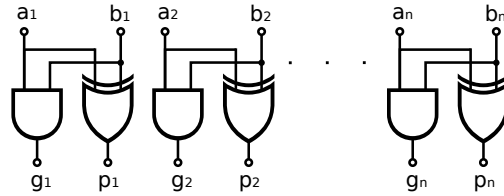


Figura 3.7: Generación y Propagación del Acarreo

### Circuito completo

Asumiendo que ya tenemos diseñado el bloque de cálculo de los acarreos en cadena, al cual le llamamos red de prefijos paralelos, el circuito propuesto por el paper de Brent-Kung(3) lo podemos ver como en la figura 3.8, que nos servirá a la hora de la implementación en HDL.

### Red de Prefijos Paralelos

Con la figura 3.9, detallamos ahora la red de prefijos paralelos con un fan-out máximo de dos, lo cuál diferencia a el sumador de Brent-Kung de los otros sumadores de prefijos paralelos. La red se realiza con 2 elementos: Los puntos negros son los operadores punto de Brent-Kung de la figura 3.6 y con buffers (los puntos blancos) que realizan una copia de la señal. Cada cable representa un par de bit  $g_i, p_i$  de la figura 3.8.

## 3.3. Implementación en Lenguaje de Descripción de Hardware

Ya hemos presentado una descripción esquemática del sumador binario de  $n$  bits. El objetivo es implementar el circuito en un lenguaje de HDL parametrizado por el tamaño  $n$  de los números binarios a ser sumados. Para describir el circuito, elegimos Lava, un sistema para diseñar,

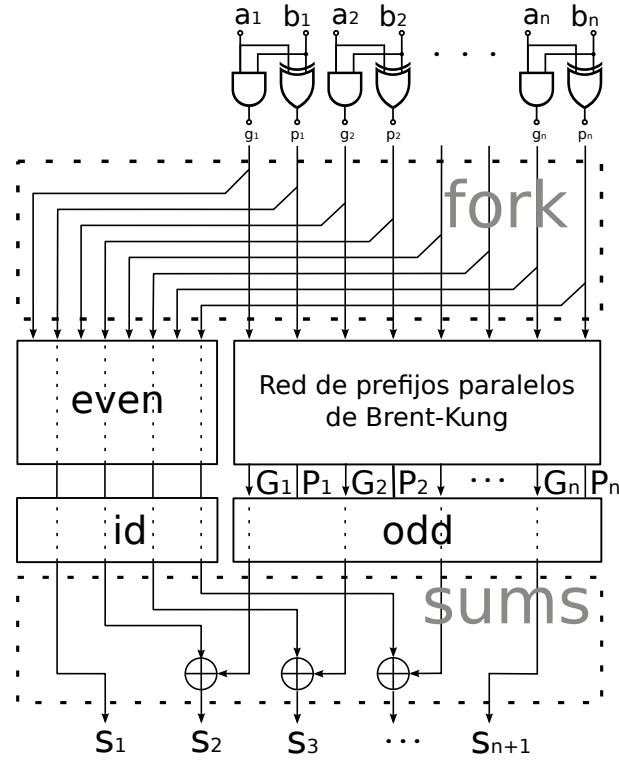


Figura 3.8: Sumador de Brent-Kung

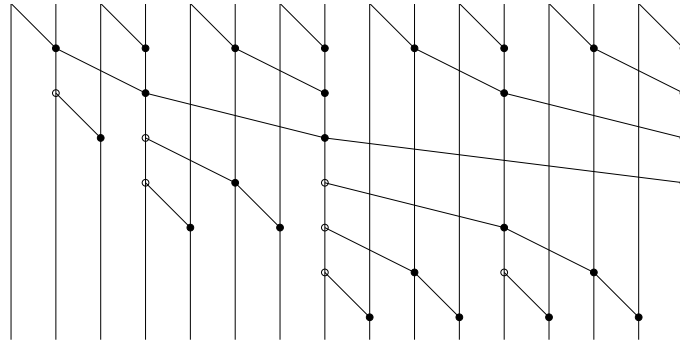


Figura 3.9: Red de prefijos paralelos (ejemplo de 16 bits)

especificar, verificar e implementar hardware. Lava está embebido en el lenguaje de programación funcional Haskell. En lava los circuitos son descritos como funciones que operan sobre listas, tuplas o sobre circuitos. Esto último se debe que el lenguaje Haskell permite la definición de funciones de alto orden, es decir podemos definir funciones que su dominio e imagen son funciones.

### 3.3.1. Implementación del RCA en lava

Siguiendo la figura 3.1a, definiremos el semisumador:

```
halfAdd (a, b) = (s, c)
  where
    s = xor2 (a, b)
    c = and2 (a, b)
```

Para escribir el circuito del sumador completo usamos la figura 3.1b, nombrando las señales internas y escribiendo los subcomponentes de la siguiente forma:

```
fullAdd (cin, (a, b)) = (s, cout)
  where
    (sum1, carry1) = halfAdd (a, b)
    (s, carry2) = halfAdd (cin, sum1)
    cout = xor2 (carry2, carry1)
```

Por último escribimos la descripción del sumador binario (RCA) de la figura 3.2 de la siguiente forma:

```
adder (carryIn, ([], [])) = ([], carryIn)
adder (carryIn, (a:as, b:bs)) = (sum:sums, carryOut)
  where
    (sum, carry) = fullAdd (carryIn, (a, b))
    (sums, carryOut) = adder (carry, (as, bs))
```

### 3.3.2. Patrones de conexión

**Patrones de conexión estandar.** Los patrones de conexión son funciones de alto orden<sup>1</sup> que pueden ser utilizadas para construir circuitos, les llamamos circuitos de alto orden o generadores de circuitos.

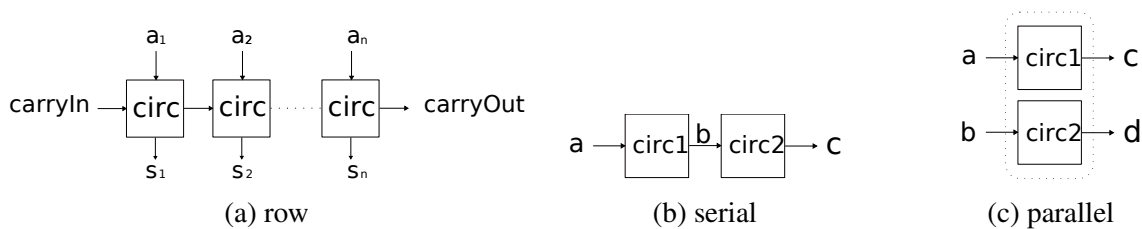


Figura 3.10: Diferentes Patrones de Conexión de Circuitos

Observando la definición de `adder` y su topología, podemos generalizar esa estructura de conexión reemplazando el circuito por un parámetro, que en la definición<sup>2</sup> del circuito será una entrada mas. A ese parámetro lo nombramos `circ`:

```
row circ (carryIn, ([])) = ([], carryIn)
row circ (carryIn, a:as) = (b:bs, carryOut)
  where
    (b, carry) = circ (carryIn, a)
    (bs, carryOut) = row circ (carry, as)
```

La función `row` toma un circuito `circ`, un conjunto de entradas, y las conecta como se muestra en la figura 3.10a. Ahora, usando el generador de circuito `row`, el sumador binario lo podemos describir mas simplemente así:

<sup>1</sup>Las funciones de alto orden (*high order functions*) son funciones que toman otras funciones como argumento y devuelven otra función como resultado.

<sup>2</sup>Esto es posible dado que Haskell implementa *pattern matching*.

---

```
adder' (carry, inps) = row fullAdd (carry, inps)
```

Inclusive para simplificar mas, podemos currificar<sup>1</sup> la definición:

```
adder'' = row fullAdd
```

Definir `adder'` y `adder''` de esa forma es bastante conveniente ya que podemos pensar en término de *generadores de circuitos* en vez de recursión sobre listas.

Ya que hemos visto la ventaja de definir los patrones de conexión, presentamos dos generadores de circuitos que vamos a usar mas tarde:

```
par cir1 cir2 (a, b) = (c, d)
  where
    c = cir1 a
    d = cir2 b
```

Es muy útil definir una versión mas gráfica de la función `par`, si definimos el operador infijo `-|-`:

```
cir1 -|- cir2 = par cir1 cir2
```

Y por último la conexión serie y su versión con el operador infijo:

```
serial cir1 cir2 a = c
  where
    b = cir1 a
    c = cir2 b

cir1 ->- cir2 = serial cir1 cir2
```

### 3.3.3. Sumador de Brent-Kung

#### Operador de Brent-Kung

Comencemos a describir el sumador de Brent-Kung. En Lava, podemos describir el circuito que implementa la función 3.8 siguiendo la figura 3.6:

```
dotOp ((g1, p1) , (g, p)) = (go, po)
  where
    go = or2 (g, and2 (p, g1))
    po = and2 (p, p1)
```

#### Generación y Propagación del Acarreo

En Lava escribimos asi lo que captamos de la figura 3.7:

```
gAndPs ([], []) = []
gAndPs (a:as, b:bs) = (g,p):gps
  where
    (g, p) = (and2 (a, b), xor2 (a, b))
    gps    = gAndPs (as, bs)
```

Para ver una explicación con mayor nivel de detalles de cómo construir el circuito, ver el manual de lava (4) en conjunto con el paper aqui citado (10)

---

<sup>1</sup>Curricular, es una referencia al lógico Haskell Curry, y hace referencia a la técnica que consiste en transformar una función que utiliza una n-tupla como argumento, en una función que utiliza un único argumento.

## Red de Prefijos Paralelos

Ahora para describir esta red que usamos en la figura 3.8 y mostramos un ejemplo de una red para 16 bits en la figura 3.9, nos basamos en un patrón recursivo que propone Sheeran (14) al que le llama *wrap*. En cada paso de la iteración tomamos el resultado anterior (el circuito *P*) y le aplicamos el operador punto antes y después de forma intercalada como se puede ver en la figura 3.11a. Esto nos lleva a construir redes como la de la figura 3.9.

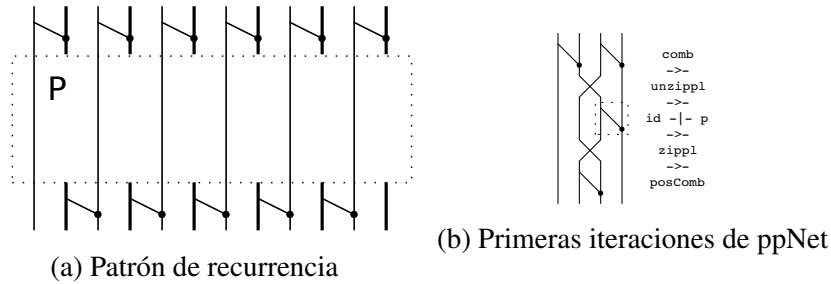


Figura 3.11: Construcción de la red de prefijos paralelos

La figura 3.11b representa las dos primeras iteraciones del circuito ppNet, en el cual la caja de líneas punteada es el caso base de la descripción, los puntos negros son la función dotOp. Lo que producimos con esta función recursiva son redes como la de la figura 3.9.

A continuación, describimos el circuito ppNet, pero antes escribimos las funciones auxiliares dop, unzipl, zipl, comb, posComb, miti y wrap, que nos servirán para escribir ppNet:

```
dop [a, b] = [a, dotOp(a, b)]
--
unzipl []      = ([], [])
unzipl [a]     = ([a], [])
unzipl (a:b:abss) = (a:as, b:bs)
  where
    (as, bs) = unzipl abss
--
zipl ([], [])    = []
zipl ([a], [])   = []
zipl (a:as, b:bs) = a:b:zipl(as, bs)
--
-- La forma en que hemos escrito las funciones zipl y unzipl
-- son la clave para lograr una descripción de un sumador
-- binario que acepte cualquier cantidad de entradas
--
comb []      = []
comb [a]     = []
comb (a:as) = dop [a, head as] ++ comb (tail as)
--
posComb (a:as) = a: (comb (init as)) ++ [last as]
--
miti p = unzipl ->- (id -|- p) ->- zipl
--
wrap p = comb ->- miti p ->- posComb
```

---

Luego finalmente, podemos describir ppNet:

```
ppNet [a]      = []
ppNet [a, b]   = dop [a, b]
ppNet as       = wrap ppNet as
```

### Circuito top level

Ahora que ya tenemos construidas todas las partes del sumador, sólo resta juntarlas siguiendo el esquemático de la figura 3.8. Prestar atención a que el circuito `fork` realiza una copia de las señales, el `even` deja pasar los bits pares, `odd` los impares, `id` es la función identidad y `sums` mapea los bits de entrada con la función booleana XOR, salvo el primer y último bit:

```
fork as = (as, as)
--
even as = cs
  where
    (bs,cs) = unzip as
--
odd as = bs
  where
    (bs,cs) = unzip as
-- Unas definiciones mas cortas:
dropP = id -|- odds
dropG = even -|- ppNet
--
sums (a:as,bs) = (a:lastXor (as,init bs),cOut)
  where
    cOut = last bs
--
lastXor (as, bs) = map xor2 cs
  where
    cs = zipp (as, bs)
--
zipp ([],[]) = []

zipp (a:as, b:bs) = c:cs -- da lo mismo que poner (c:cs)
  where
    c = (a, b)
    cs = zipp (as, bs)
```

Y el circuito completo es:

```
fastAdd = gAndPs ->- fork ->- dropG ->- dropP ->- sums
```

### 3.3.4. Simulación

En Lava podemos simular el circuito usando la operación `simulate`, el circuito y el estado de las entradas, por ejemplo:

```
simulate fastAdd ([high,low],[low,high])
```



---

devuelve: `([high, high], low)`. También podemos simular secuencia de entradas con la operación `simulateSeq`:

```
simulateSeq halfAdd [(low, low), (high, low), (low, high)]
```

que devuelve `[(low, low), (high, low), (high, low)]`

### Simulaciones con números decimales

Lava nos permite una interfase con números enteros, por si nos interesa simular usando como operandos números enteros. Esto lo logramos si definimos una función como la siguiente, que toma dos enteros y convierte el segundo en un número binario de la cantidad de bits que indica el primero:

```
int2bin 0 num = []

int2bin n num = (bit:bits)
  where
    (bit, num) = numBreak num
    bits      = int2bin (n-1) num
```

### Método de validación del hardware

Para este diseño en particular, no utilizaremos la simulación como una forma de validar el correcto funcionamiento del circuito, por eso no avanzaremos en las distintas alternativas de simulación que nos permite el sistema, como puede ser la creación de un archivo VCD<sup>1</sup> a partir de vectores de entrada<sup>2</sup>.

Justificamos descartar la simulación como método de validación por la simple razón de que sólo simulando todos los posibles estados de las entradas se garantiza el correcto diseño del circuito. Por ejemplo, para un sumador de 64 bits, es necesario simular  $2^{128}$  estados.

Para este tipo de sistemas es aplicable la verificación formal automática, que desarrollaremos en el capítulo 4.

### 3.3.5. Síntesis del Netlist VHDL

Para continuar en nuestro flujo de diseño, precisamos generar el circuito en un lenguaje que nuestra herramienta de *Place and Route* pueda manejar. Para eso lava nos permite crear un netlist VHDL siguiendo dos pasos, el primero definiendo los nombres de los puertos y el bloque a ser creado:

```
fastAdder n = writeVhdlInputOutputNoClk
  "BrentKungFastAdder" fastAdd
  (varList n "a", varList n "b")
  (varList n "sum", var "cout")
```

---

<sup>1</sup>VCD: Value Change Dump es un formato basado en ASCII para loguear señales, que es utilizado por herramientas de simulación lógica. Para visualizarlo podemos utilizar el software GTKWave, de licencia libre.

<sup>2</sup>Podemos usar una librería de Haskell llamada *casualmente* vcd que nos permite escribir y leer archivos con este formato

---

Y el segundo paso para crear el netlist, debemos especificar el valor real de sumador, por lo tanto valuamos el circuito con el número de bits del sumador y conseguiremos el archivo BrentKungFastAdder.vhl que mostramos en el apéndice [B](#):

```
Main> fastAdder 16  
Writing to file "BrentKungFastAdder.vhd" ... Done..
```

Si por alguna razón este netlist lo utilizáramos con una otra herramienta de síntesis, deberemos especificar que no modifique los cables para preservar la estructura de esta red.

## Capítulo 4

# VERIFICACIÓN FORMAL

---

Como aclaramos en el capítulo 3, el correcto funcionamiento del circuito se garantiza por medio de la verificación formal de las propiedades de la suma.

Nuestro flujo para esta etapa tiene que ver con la verificación de propiedades que se denominan *safety properties*. Estas son propiedades que se mantienen como verdaderas siempre (o lo que es equivalente, nunca son falsas). En Lava escribimos estas propiedades de la misma forma en que escribimos los circuitos, inclusive utilizando otros circuitos que nos sirvan para expresar una condición. Esto se verá con mas claridad cuando avancemos con la verificación. Entonces, la pregunta que estamos haciendo para verificar cualquier propiedad descrita de esta forma es: ¿Este circuito de verificación siempre tiene como salida el estado `True` sin importar cuales son las entradas? Para responder esta pregunta, en Lava usamos la operación `verify`.

Este proceso funciona así: Tal como podemos generar un netlist VHDL (o la simulación) a partir de la descripción del circuito, también podemos generar una fórmula lógica que representa al circuito. Esta fórmula lógica se la damos a un probador de teorema externo que nos probará (o desaprobará) la validez de la fórmula. El probador externo que usaremos es `miniSAT`<sup>1</sup>.

### 4.1. Modelo de referencia

A los fines de la verificación, usaremos un sumador de referencia `adder` bien simple, en el cual podamos probar todas las propiedades de la suma, para luego hacer un chequeo de equivalencia lógica (LEC por sus siglas en inglés) entre el sumador de referencia y el sumador que queremos implementar. Esto es conveniente porque es una gran ventaja (desde el punto de vista de tiempo de cálculo) hacer todas las pruebas sobre circuitos mas simples (pequeños), para luego realizar una sola comprobación de equivalencia lógica entre este circuito simple y el circuito diseñado, garantizando así que si todas las propiedades se cumplen en uno, también se cumplen en el otro.

---

<sup>1</sup>Minisat es un programa que resuelve problemas conocidos como *Boolean satisfiability problem (SAT)*, o directamente *SAT solver*

---

## 4.2. Verificación de las Propiedades

### 4.2.1. Propiedades de la suma

La suma tiene las siguientes propiedades:

- Asociativa
- Conmutativa
- Existencia del elemento neutro cero.

### 4.2.2. Descripción de las propiedades en el RCA

Debido a que nuestro sumador de Brent-Kung asume que el acarreo de entrada es cero, debemos modificar nuestro sumador de referencia (un Ripple Carry Adder) para que desprecie el acarreo de entrada. Por lo tanto describimos nuevamente una versión del RCA de la siguiente forma:

```
adder2 ([], []) = []
adder2 (a:as, b:bs) = sum:sums
  where
    (sum, carry)      = halfAdd (a, b)
    (sums, carryOut) = adder (carry, (as, bs))
```

#### Propiedad Conmutativa

Ahora declaramos la propiedad conmutativa de la suma de la siguiente forma:

```
prop_AdderCommutative (as, bs) = ok
  where
    out1 = adder2 (as, bs)
    out2 = adder2 (bs, as)
    ok    = out1 <==> out2
```

Notar que el operador <==> es la versión infija de una función que mapea dos listas a la compuerta `xnor2`, la cual es la operación de equivalencia lógica. Como es muy difícil verificar automáticamente para cualquier tamaño, definimos una nueva propiedad que incluye el tamaño del circuito a ser verificado:

```
prop_AdderCommutative_ForSize n =
  forAll (list n) $ \as ->
    forAll (list n) $ \bs ->
      prop_AdderCommutative (as, bs)
```

Luego hacemos la verificación corriendo Minisat desde Lava, dando el tamaño del sumador:

```
minisat (prop_AdderCommutative_ForSize 32)
```

Si nuestro circuito está correctamente diseñado, tenemos:

---

```
Minisat: ... (t=0.00system) Valid.
```

De otro modo, podemos tener uno de estos resultados:

```
Minisat: ... (t=0.00system) Falsifiable.
Minisat: ... (t=0.00system) Inderterminate.
```

## Propiedad Asociativa

La propiedad Asociativa la declaramos como:

```
prop_AdderAssociative (as, bs, cs) = ok
  where
    out1 = adder2 (adder2 (as, bs), cs)
    out2 = adder2 (as, adder2 (bs, cs))
    ok    = out1 <==> out2
```

## Existencia del Elemento Neutro

Para verificar que el cero es el elemento neutro de la adición, necesitamos escribir un poco mas de lógica al circuito para transformar uno de los operandos a cero:

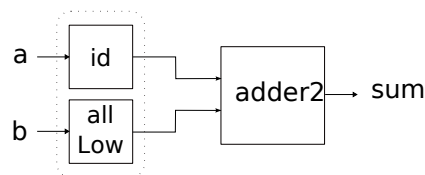


Figura 4.1: circuito addZero

```
alwaysLow :: [Signal Bool] -> [Signal Bool]
alwaysLow (as) = [low | n <- [1..n]]
  where
    n = length as
```

```
addZero = (id -|- alwaysLow) ->- adder2
-- id es la funcion identidad
```

Y la verificación de esta propiedad en el circuito:

```
prop_AdderZero (as,bs) = ok
  where
    out = addZero (as, bs)
    ok   = out <==> as
```

## Equivalencia lógica entre el RCA y el sumador de Brent-Kung

Finalmente, hacemos la equivalencia lógica entre los dos circuitos: `fastAdd` (el BKA) y `adder2` (el RCA). Eso se declara en Lava de la siguiente forma:

```
prop_Equivalent adder2 fastadd a = ok
  where
    out1 = adder2 a
    out2 = fastadd a
    ok    = out1 <==> out2
```

---

# **Parte II**

## **Diseño Físico**





# Capítulo 5

## Flujo de Diseño Físico

---

### 5.1. Introducción

En este punto convertimos la representación de un circuito (con sus componentes e interconexiones) a una representación en formas geométricas, conocida como *layout*. Dicho en otras palabras, explicaremos (y realizaremos) el proceso que logra transformar una descripción de funciones lógicas a una representación de formas geométricas del circuito integrado, que luego de ser fabricado con las capas correspondientes, nos aseguran que obtendremos los transistores ubicados e interconectados dentro de un chip de silicio, de forma tal que implemente nuestro sistema digital.

El proceso que explicaremos en términos generales, y que podemos ver en contexto en la figura 5.1, se realiza iterativamente hasta lograr que el circuito cumpla las especificaciones con el menor costo en potencia disipada y área ocupada.

#### 5.1.1. Etapas del diseño físico

Generalmente en un flujo de este tipo, partimos desde una descripción estructural del circuito. Esta descripción, comúnmente llamada *netlist*, contiene información sobre qué bloques están presentes, y cómo estos están interconectados.

Según el tamaño del circuito, será necesario definir particiones del mismo, dividiendo el circuito en dos o mas particiones con fines de acotar la magnitud y/o dificultad inicial del circuito original, en partes más pequeñas de menor dificultad, si las particiones se realizan correcta e inteligentemente.

Luego es necesario definir un plano general del circuito (*floorplan*), que impondrá condiciones físicas mínimas como el área utilizada y la disposición física de las entradas y salidas. A continuación, se ubican en este plano todos los componentes del circuito, en una disposición tentativa que nos permita evaluar rápidamente la factibilidad del circuito con las condiciones impuestas por el floorplan. Con esta acción (llamado *placement*) podemos estimar si el circuito será o no ruteable. Dependiendo de las herramientas con las que se esté trabajando, también se puede tener una estimación sobre la velocidad de las señales.

Una vez que todos los elementos esten el plano, si el circuito es secuencial, será necesario realizar una distribución de la señal del reloj para que llegue a todos los registros, de la forma más pareja (en tiempo) posible dentro de un margen de tolerancia determinado. Para ello se agregan *buffers* donde sea necesario. Por último, se realiza el conexionado de todos los puertos de cada

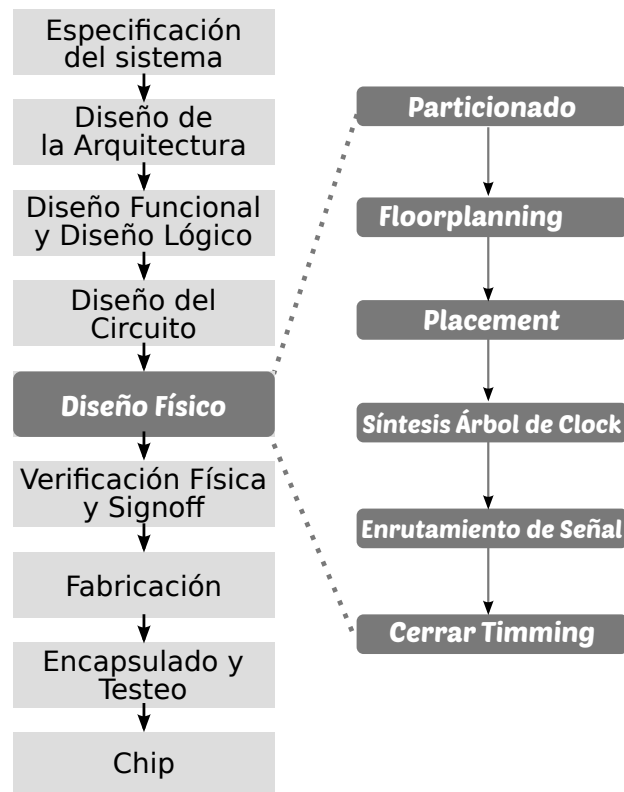


Figura 5.1: Flujo de diseño Físico

componente, utilizando los metales disponibles dentro de la tecnología que se esté utilizando.

En este punto, se puede realizar la mejor estimación sobre las capacidades y resistores parásitos que representan la interconexión de todo el circuito. Se encuentran los caminos críticos y se realizan las modificaciones necesarias para que el circuito cumpla con la especificaciones de retardo de propagación máximo.

## 5.2. Relevamiento, comparación y selección de las herramientas disponibles

Para realizar las tareas que describimos en la sección 5.1.1, será necesario buscar una o varias herramientas de software que se ajusten a los requerimientos del diseño y la tecnología de fabricación<sup>1</sup> del circuito integrado.

### Características esperadas de las herramientas

- Que tenga un desarrollo activo y que exista una comunidad de usuarios/as y desarrolladores/as que brinden soporte

<sup>1</sup>Se utilizará una tecnología definida por Mead y Conway(11), que MOSIS denomina **SCMOS** (Scalable CMOS). Esto es un conjunto de capas lógicas junto a sus reglas de diseño, que proveen un proceso casi independiente de la tecnología y dimensión, que sirve de interfase para muchos procesos CMOS disponibles a través de MOSIS.

- 
- Mayor cantidad de herramientas integradas
  - Flexibilidad para importar y exportar datos.
  - [Process Design Kit \(PDK\)](#) disponible para la tecnología seleccionada.

Luego de una inspección de esos criterios, las herramientas candidatas que cumplen con estas características son:

**Open Circuit Design** Proyecto de software libre que reúne en un único sitio varias herramientas independientes, mencionamos sólo algunas: **Magic**: Layout, [Design Rule Check \(DRC\)](#) y extracción de parásitos. **Xcircuit**: Entrada de circuitos esquemáticos, **netgen**: [Layout Vs. Schematic \(LVS\)](#). **IRSIM**: simulador digital, **Qflow**: Entorno para realizar la síntesis digital con celdas estándar, utiliza Yosys(16), **graywolf**: Placement **Qrouter**: Ruteador.

**Electric VLSI Design System(5)** Es un sistema de Automatización de Diseño Electrónico. En un entorno integrado muy flexible que permite la descripción del circuito de varias formas (esquemáticos, VHDL, Layout, generadores de ROM y MOSIS PLA). Cuenta también con herramientas para hacer [DRC](#), [LVS](#) y [Place & Route \(PnR\)](#), simulación digital, visualización de formas de ondas, entre otras herramientas.

**Alliance VLSI CAD System(15)** Alliance es un conjunto de herramientas libres, y librerías portables para el diseño de VLSI. Incluye un compilador vhdl y un simulador, herramientas de síntesis de lógica, y herramientas de [PnR](#) automáticas. Brinda un conjunto completo de librerías CMOS portables.

Es importante mencionar que existen mas herramientas disponibles (y muy útiles), pero al momento de realización de este trabajo, no forman parte de un flujo de diseño que las integre y por ello no son mencionadas aquí.

La herramienta que seleccionamos es **Electric**, ya que nos brinda una serie de ventajas comparativas, teniendo en cuenta que nuestro circuito es puramente secuencial y no demanda gran esfuerzo de [PnR](#) a la herramienta:

- Fácil instalación
- Curva de aprendizaje suave
- Cuenta con todas las herramientas necesarias integradas

### 5.3. Selección del proceso de fabricación

En este punto, es importante mencionar un aspecto de la industria de los semiconductores. En los orígenes, la industria de semiconductores estaba verticalmente integrada. Esto significaba que la misma empresa que diseñaba el producto, también diseñaba las herramientas de software y fabricaba el chip. Pero hace poco mas de 20 años, surge la separación del proceso de diseño y fabricación. Hoy en día existen empresas que se dedican sólo a desarrollar el producto, otras que se dedican únicamente a desarrollar herramientas de software para el diseño, otras que sólo se dedican a fabricar los diseños de otras empresas, y también persisten las empresas que realizan todo el proceso, abriendo las puertas a otras empresas de diseño sin fábrica, para evitar la capacidad ociosa instalada y disminuir sus costos.

### 5.3.1. Obleas multiproyectos

Dentro de este esquema, existe una empresa (MOSIS) que se dedica a recolectar proyectos de diseño que están en etapa de prototipo o de bajo volumen, creando obleas multiproyecto que se envían a fabricar, dividiendo los costos por la cantidad de proyectos que incluye. De esta forma, se logra acceder a la fabricación de semiconductores a muy bajo costo. Tiene sus limitaciones en cuanto a tecnologías de fabricación disponibles, cantidades, y tiempo de retorno largos, pero permite que proyectos educativos, de investigación y/o de baja escala sean económicamente factibles. Por ello, nuestro proceso deberá ser seleccionado dentro de la lista de lo que MOSIS habilita<sup>1</sup>:

Fábrica	Proceso CMOS
TSMC	28 nm - 180 nm
Globalfoundries	14 nm - 180 nm
IBM	32 nm - 250nm
ON Semi	0.35 um - 0.7 um
Austria Micro Systems	180 nm - 0.35 um

Cuadro 5.1: Procesos disponibles por medio de MOSIS

De todas estas, elegimos TSMC 180 nm por dos razones: La primera es que cuanto mayor es la dimensión de la tecnología, mas simples son las herramientas de software necesarias y más bajo es el costo de fabricación. La segunda, es que con esta tecnología se pueden realizar sistemas de gran complejidad y alta performance<sup>2</sup>

Para dar cuenta de las capacidades de esta tecnología, vemos en la tabla 5.2 un conjunto de microprocesadores que la utilizaron cuando esta era la más avanzada en su tiempo (desde el año 1999 hasta 2001) e inclusive después. Pero el verdadero sustento de que esta tecnología es actual, es que al día de hoy se continúan desarrollando varias aplicaciones que intentan sacarle mayor rendimiento con nuevas técnicas para la disminución de consumo de energía, siendo una mejor opción que nodos mas nuevos, ya que no todas las aplicaciones requieren de la mayor velocidad disponible a la menor energía posible.

Procesador	Año de lanzamiento
Intel Coppermine E	1999
AMD Athlon Thunderbird	2000
Intel Celeron (Willamette)	2002
Motorola PowerPC 7445 y 7455 (Apollo 6)	2002

Cuadro 5.2: Procesecadores fabricados en CMOS 180nm

<sup>1</sup>Esta lista está en constante cambio y actualización, se brinda aquí de modo ilustrativo. Para una lista actualizada visitar <https://www.mosis.com/products/fab-processes>

<sup>2</sup>Claro que cuanto más nueva es la tecnología, los circuitos digitales son más rápidos y disipan menor potencia dinámica. Pero también es cierto que mayores son los tiempos para diseñar, principalmente porque con cada nuevo nodo aparecen nuevos efectos físicos que deben ser manejados, complejizando las tareas. Además, los circuitos analógicos deben ser diseñados nuevamente desde cero, ya que las arquitecturas de circuitos analógicos no son escalables (como si son los digitales).

---

Se eligió TSMC porque es para la única fábrica que MOSIS nos permite utilizar SCMOS para el diseño.

## 5.4. Selección de las Celdas estándar

El resultado de la síntesis que realizamos en el capítulo 3 es un netlist VHDL que contiene sólo compuertas lógicas. Estas son compuertas lógicas abstractas, es decir que nuestro circuito fué mapeado a un conjunto finito de funciones lógicas como las `and`, `or`, `xor`, `xnor`, etc.

Ahora es necesario mapear estas funciones lógicas a compuertas lógicas reales, que serán también un conjunto finito de compuertas, pero con dimensiones físicas definidas, y con una caracterización de su funcionamiento real. Estas compuertas lógicas se denominan celdas estándares, que se diseñan específicamente para la tecnología de fabricación que hayamos definido usar. Por cada función lógica existen distintas versiones para poder manejar distintas capacidades.

Caraterización de las celdas: Se realizan simulaciones analógicas de un netlist de estas celdas, donde variando paramétricamente la carga (capacitiva) de salida y el tiempo de crecida y caída ( $t_r$  y  $t_f$ ) de la entrada, se obtiene el retardo de propagación, tiempo de crecida y de bajada de la salida y la disipación de potencia.

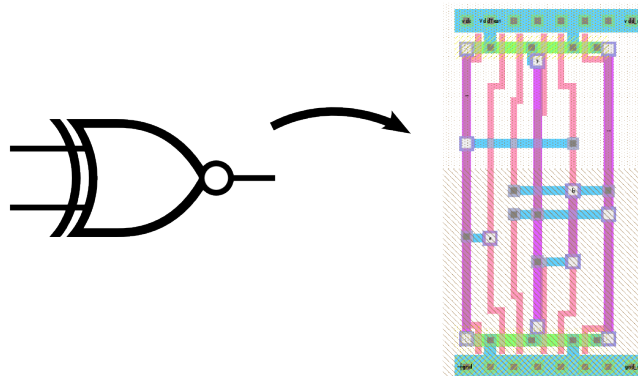


Figura 5.2: Mapeo de funciones lógicas a celdas estándares

Es común elegir las celdas estándares según el tipo de aplicación a desarrollar. Existen celdas estándares que fueron diseñadas para bajo consumo, o alta velocidad, o de mínima área. También existe la posibilidad de diseñar celdas que busquen la mejor relación velocidad-consumo-área que puedan ser utilizadas en muchas aplicaciones. En circuitos integrados para sistemas alimentados a batería se intentará utilizar las celdas de menor consumo y evitar siempre que sea posible las de mayor velocidad, en función del presupuesto de potencia disponible para el mismo.

En nuestro caso, seleccionamos una librería de celdas estándares diseñadas para tamaño mínimo de canal  $n$ , y  $p$ . Otra característica de la librería es la distancia entre el riel de VSS hasta el riel de VDD. Esta distancia es de  $117 \lambda$  (En nuestra tecnología de 180 nm, el valor de  $\lambda$  es:  $\lambda = 100$  nm), lo cual permite el ruteo horizontal de 16 pistas de metal por encima de las celdas, con metal 3 hasta capas superiores.

---

## 5.5. Ubicación y Cableado (*Place & Route*)

Partimos desde la descripción estructural<sup>1</sup> del vhdL que producimos en el capítulo 3. De *Electric* usaremos la herramienta llamada *Silicon Compiler*, que se encarga de ubicar y conectar las celdas según el archivo vhdL. En el apéndice B mostramos el resultado de sintetizar a compuertas nuestro circuito. Las compuertas que se usan son compuertas lógicas genéricas, aún podemos modificar este netlist primero para hacer optimizaciones lógicas, que en nuestro caso esto no es conveniente ya que hemos elegido la arquitectura para lograr la mejor relación de compromiso entre velocidad y menor interconectividad. Otra optimización a realizar es eligiendo la fuerza de la celda.

*place & route*

Arquero para que este archivo pueda ser usado con *Electric* fué necesario hacer algunas modificaciones:

1. Reemplazar los nombres de las instancias de las celdas standards que seleccionamos en la sección 5.4 y *Electric* utilizará.
2. En la parte del vhdL que comienza la descripción estructural es necesario agregar las celdas standards que serán utilizadas en el circuito.
3. Quitar todas las instancias de `wire port map (...)` volviendo a conectar lo que queda desconectado al quitar estas instancias.

Estas tareas las realizamos modificando el código del programa de lava que crea el netlist vhdL llamado `VhdlNew.hs`, y con un script<sup>2</sup> en perl que es lanzado desde el mismo.

### 5.5.1. Métricas de Calidad de un circuito digital

Para cuantificar la calidad de un circuito, podemos analizar un circuito desde diferentes perspectivas: Costo, funcionalidad, robustez, performance y consumo de energía. Tomaremos estas dos últimas métricas, mas la del área (propiedad que define el costo) del circuito, para realizar la comparación entre las distintas arquitecturas analizadas.

### 5.5.2. Performance

Realizamos un oscilador anillo de 5 etapas, utilizando el inversor mas chico de nuestra librería de celdas estándar elegida. En la figura 5.3 podemos ver el *layout* que realizamos para esta prueba. Hacemos la extracción de parásitos y simulamos el circuito para obtener la forma de onda de la figura 5.4.

Como podemos deducir de la figura 5.4, el tiempo de propagación es de 32 pS, lo cual no significa que nuestros circuitos puedan correr a 31,25 GHz. Cuando medimos el tiempo de propagación usando este circuito, deberemos considerar que este es sólo una forma de comparar las tecnologías de fabricación y las topologías de las compuertas, pero de ninguna forma será la frecuencia máxima a la que pueda funcionar nuestro circuito, ya que la complejidad y cantidad

---

<sup>1</sup>El resultado de la síntesis hecha con lava es un netlist a nivel de compuerta, listo para ser usado por una herramienta de *place & route* Gate-level netlist vhdL.

<sup>2</sup>Adjuntamos el script en el apéndice ??

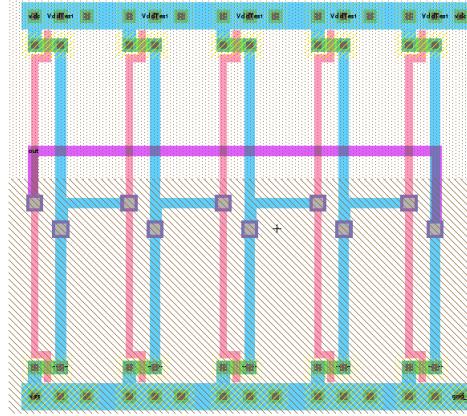


Figura 5.3: Layout del Oscilador anillo (N=5)

de compuertas es enormemente mayor que la de un inversor. Según Rabaey(13) se puede esperar velocidades entre 50 a 100 veces mas bajas, aunque optimizando el diseño se puede lograr acercarnos un poco mas a esta frecuencia ideal.

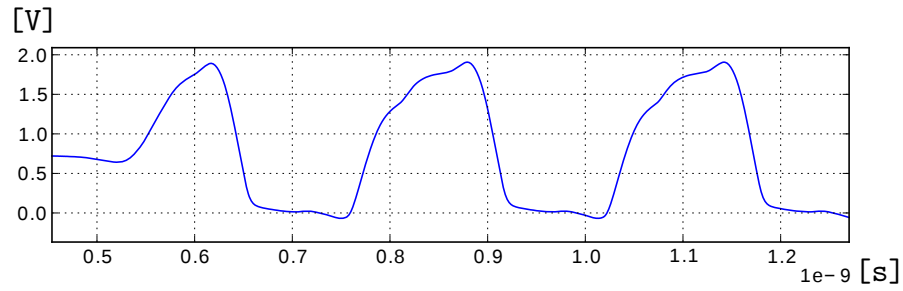


Figura 5.4: Simulación con parásitos extraídos del layout de la figura 5.3

### 5.5.3. Tiempo mínimo de propagación

$$t_p = 32p$$

---



## Capítulo 6

# Sign Out y Tape Out

---

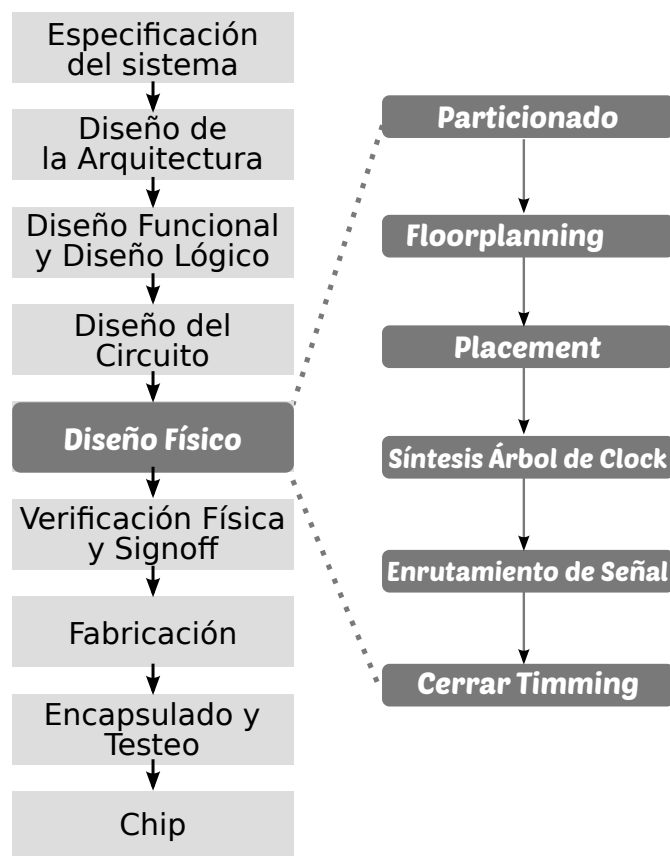


Figura 6.1: Flujo de diseño Físico

...

---

# **Parte III**

## **Comparación de resultados**



## Capítulo 7

# Comparación de resultados

---

### 7.1. Tablas comparativas

---

# **Parte IV**

## **Conclusiones**





## Capítulo 8

# Conclusiones

---

...

---

# Apéndice A

## NETLIST VHDL

---

```
library ieee;

use ieee.std_logic_1164.all;

entity
    BrentKungFastAdder
is
port
    (

        a_0 : in std_logic
    ; a_1 : in std_logic
    ; a_2 : in std_logic
    ; a_3 : in std_logic
    ; a_4 : in std_logic
    ; a_5 : in std_logic
    ; a_6 : in std_logic
    ; a_7 : in std_logic
    ; b_0 : in std_logic
    ; b_1 : in std_logic
    ; b_2 : in std_logic
    ; b_3 : in std_logic
    ; b_4 : in std_logic
    ; b_5 : in std_logic
    ; b_6 : in std_logic
    ; b_7 : in std_logic

        ; sum_0 : out std_logic
        ; sum_1 : out std_logic
        ; sum_2 : out std_logic
        ; sum_3 : out std_logic
        ; sum_4 : out std_logic
        ; sum_5 : out std_logic
        ; sum_6 : out std_logic
        ; sum_7 : out std_logic
        ; cout : out std_logic
    );
```

---

```

end BrentKungFastAdder;

architecture
    structural
of
    BrentKungFastAdder
is
    signal w1 : std_logic;
    signal w2 : std_logic;
    signal w3 : std_logic;
    signal w4 : std_logic;
    signal w5 : std_logic;
    signal w6 : std_logic;
    signal w7 : std_logic;
    signal w8 : std_logic;
    signal w9 : std_logic;
    signal w10 : std_logic;
    signal w11 : std_logic;
    signal w12 : std_logic;
    signal w13 : std_logic;
    signal w14 : std_logic;
    signal w15 : std_logic;
    signal w16 : std_logic;
    signal w17 : std_logic;
    signal w18 : std_logic;
    signal w19 : std_logic;
    signal w20 : std_logic;
    signal w21 : std_logic;
    signal w22 : std_logic;
    signal w23 : std_logic;
    signal w24 : std_logic;
    signal w25 : std_logic;
    signal w26 : std_logic;
    signal w27 : std_logic;
    signal w28 : std_logic;
    signal w29 : std_logic;
    signal w30 : std_logic;
    signal w31 : std_logic;
    signal w32 : std_logic;
    signal w33 : std_logic;
    signal w34 : std_logic;
    signal w35 : std_logic;
    signal w36 : std_logic;
    signal w37 : std_logic;
    signal w38 : std_logic;
    signal w39 : std_logic;
    signal w40 : std_logic;
    signal w41 : std_logic;
    signal w42 : std_logic;
    signal w43 : std_logic;
    signal w44 : std_logic;
    signal w45 : std_logic;
    signal w46 : std_logic;
    signal w47 : std_logic;
    signal w48 : std_logic;
    signal w49 : std_logic;

```

---

```

signal w50 : std_logic;
signal w51 : std_logic;
signal w52 : std_logic;
signal w53 : std_logic;
signal w54 : std_logic;
signal w55 : std_logic;
signal w56 : std_logic;
signal w57 : std_logic;
signal w58 : std_logic;
signal w59 : std_logic;
signal w60 : std_logic;
signal w61 : std_logic;
signal w62 : std_logic;
signal w63 : std_logic;
signal w64 : std_logic;
signal w65 : std_logic;
begin
  c_w2      : wire port map (a_0, w2);
  c_w3      : wire port map (b_0, w3);
  c_w1      : xor2 port map (w2, w3, w1);
  c_w6      : wire port map (a_1, w6);
  c_w7      : wire port map (b_1, w7);
  c_w5      : xor2 port map (w6, w7, w5);
  c_w8      : and2 port map (w2, w3, w8);
  c_w4      : xor2 port map (w5, w8, w4);
  c_w11     : wire port map (a_2, w11);
  c_w12     : wire port map (b_2, w12);
  c_w10     : xor2 port map (w11, w12, w10);
  c_w14     : and2 port map (w6, w7, w14);
  c_w15     : and2 port map (w5, w8, w15);
  c_w13     : or2  port map (w14, w15, w13);
  c_w9      : xor2 port map (w10, w13, w9);
  c_w18     : wire port map (a_3, w18);
  c_w19     : wire port map (b_3, w19);
  c_w17     : xor2 port map (w18, w19, w17);
  c_w21     : and2 port map (w11, w12, w21);
  c_w22     : and2 port map (w10, w13, w22);
  c_w20     : or2  port map (w21, w22, w20);
  c_w16     : xor2 port map (w17, w20, w16);
  c_w25     : wire port map (a_4, w25);
  c_w26     : wire port map (b_4, w26);
  c_w24     : xor2 port map (w25, w26, w24);
  c_w29     : and2 port map (w18, w19, w29);
  c_w30     : and2 port map (w17, w21, w30);
  c_w28     : or2  port map (w29, w30, w28);
  c_w32     : and2 port map (w17, w10, w32);
  c_w31     : and2 port map (w32, w13, w31);
  c_w27     : or2  port map (w28, w31, w27);
  c_w23     : xor2 port map (w24, w27, w23);
  c_w35     : wire port map (a_5, w35);
  c_w36     : wire port map (b_5, w36);
  c_w34     : xor2 port map (w35, w36, w34);
  c_w38     : and2 port map (w25, w26, w38);
  c_w39     : and2 port map (w24, w27, w39);
  c_w37     : or2  port map (w38, w39, w37);
  c_w33     : xor2 port map (w34, w37, w33);

```

---

```

c_w42      : wire port map (a_6, w42);
c_w43      : wire port map (b_6, w43);
c_w41      : xor2 port map (w42, w43, w41);
c_w46      : and2 port map (w35, w36, w46);
c_w47      : and2 port map (w34, w38, w47);
c_w45      : or2 port map (w46, w47, w45);
c_w49      : and2 port map (w34, w24, w49);
c_w48      : and2 port map (w49, w27, w48);
c_w44      : or2 port map (w45, w48, w44);
c_w40      : xor2 port map (w41, w44, w40);
c_w52      : wire port map (a_7, w52);
c_w53      : wire port map (b_7, w53);
c_w51      : xor2 port map (w52, w53, w51);
c_w55      : and2 port map (w42, w43, w55);
c_w56      : and2 port map (w41, w44, w56);
c_w54      : or2 port map (w55, w56, w54);
c_w50      : xor2 port map (w51, w54, w50);
c_w60      : and2 port map (w52, w53, w60);
c_w61      : and2 port map (w51, w55, w61);
c_w59      : or2 port map (w60, w61, w59);
c_w63      : and2 port map (w51, w41, w63);
c_w62      : and2 port map (w63, w45, w62);
c_w58      : or2 port map (w59, w62, w58);
c_w65      : and2 port map (w63, w49, w65);
c_w64      : and2 port map (w65, w27, w64);
c_w57      : or2 port map (w58, w64, w57);

c_sum_0    : wire port map (w1, sum_0);
c_sum_1    : wire port map (w4, sum_1);
c_sum_2    : wire port map (w9, sum_2);
c_sum_3    : wire port map (w16, sum_3);
c_sum_4    : wire port map (w23, sum_4);
c_sum_5    : wire port map (w33, sum_5);
c_sum_6    : wire port map (w40, sum_6);
c_sum_7    : wire port map (w50, sum_7);
c_cout     : wire port map (w57, cout);
end structural;

```

# Apéndice B

## SCRIPT PERL

---

```
#!/usr/bin/perl

#### Import Classes
use File::Copy;
use FileHandle;
####
#### Define constants
my $idPort = "id";

# Input File
my $file = $ARGV[0];

#
my %ports; # to store ports (ins & outs)
# and wire's name given
# by the VhdlNew.hs

### OPEN INPUT FILE
print "$file\n";
open(my $fhi, '<', $file) or die "archivo no encontrado";
open(my $fho, '+>', "temp-$file");
while(<$fhi){
#Primero obtengo las entradas
if(m/.$idPort.+port.map.+\\(([A-Za-z0-9_]+).+(w[0-9]+)/)
{
push @wires,$2;
push @wires,$1;
$ports {$2} = $1;
# print $fho "--$_" ; # comento la linea
}

#Ahora obtengo las salidas, por ejemplo:
# c_sum_0      : std_wire  port map (w1, sum_0);
# o como estas:
# c_cout       : std_wire  port map (w131, cout);
if(m/.$idPort.+(w[0-9]+)\\.?.?([A-Za-z0-9_]+)\\.*/)
```

---

```

{
$ports {$1} = $2;
print $fho "--$_"; # comento lo que quiero eliminar
} else {
print $fho "$_";}
# and the outputs
#if(m/([a-z]_[a-z]*_[0-9]+).+out/) {push @outs,$1;}
# I could use ins and outs to make the %ports hash table
}#while
close($fhi);
close($fho);

#copy("temp-$file", "temp2-$file");
# Replace all signals connected to wire with the inputs
#   c_w131      : std_or2   port map (w132, w141, w131);
# w131 should be replaced by the output

while(my($key,$value) = each(%ports)) {
open(my $fhi, '<', "temp-$file") or die "archivo no encontrado";
open(my $fho, '+>', "stripped-$file");
while(<$fhi){
if(s/(.+map.+)$key(\,|\))/ $1$value$2/g) {

#need to delete entries with the next pattern:  c_w18      : std_wire   port map ...
if(m/.$idPort.+/) {print $fho "-- deleted $_";}
else {print $fho "$_";}
else { print $fho "$_";}
    }# while file

close($fho);
close($fhi); #atenti no hacer close($fho, $fhi) porque no es lo mismo que en 2 reng
copy("stripped-$file", "temp-$file");
}#while hash table

```



# Bibliografía

---

- [1] MANUEL VALENCIA ADRIÁN ESTRADA, CARLOS J. JIMÉNEZ. Características de Sumadores en Tecnologías Fuertemente Submicrónicas. *IBERCHIP, DOC (TEC 2004-01509/MIC)*, 1982. [13](#)
- [2] A. BALIGA AND D. YAGAIN. Design of high speed adders using cmos and transmission gates in submicron technology: A comparative study. In *Emerging Trends in Engineering and Technology (ICETET), 2011 4th International Conference on*, pages 284–289, 2011. [13](#)
- [3] R. P. BRENT AND H. T. KUNG. . *IEEE Transaction on Computers*, **C-31**, Issue: 3:260–264, 2006. [13](#), [14](#), [15](#)
- [4] K. CLAESSEN AND M. SHEERAN. A tutorial on Lava: A hardware description and verification system. Website, 2014. <http://projects.haskell.org/chalmers-lava2000/Doc/>. [18](#)
- [5] STEVE RUBIN ET AL. Electric VLSI design system. <http://www.staticfreesoft.com/>. [31](#)
- [6] J. HENNESSY AND D. PATTERSON. *Computer Architecture A Quantitative Approach*. Morgan Kaufmann Publishers, fourth edition edition, 2007. [5](#)
- [7] S. KNOWLES. A family of adders. In *Computer Arithmetic, 2001. Proceedings. 15th IEEE Symposium on*, pages 277–281, 2001. [13](#)
- [8] PETER M. KOGGE AND HAROLD S. STONE. A parallel algorithm for the efficient solution of a general class of recurrence equations. *Computers, IEEE Transactions on*, **C-22**(8):786–793, Aug 1973. [13](#), [14](#)
- [9] RICHARD E. LADNER AND MICHAEL J. FISCHER. Parallel prefix computation. *JACM, Journal of the ACM*, **C-27**(4):831,838, Oct 1980. [14](#)
- [10] L. MARSO. Brent-kung fast adder description, simulation and formal verification using lava. In *Micro-Nanoelectronics, Technology and Applications, 2008. EAMTA 2008. Argentine School of*, pages 111–114, Sept 2008. [18](#)
- [11] CARVER MEAD AND LYNN CONWAY. *Introduction to VLSI Systems*. Addison-Wesley, 1980. [30](#)
- [12] B. PARHAM. *Computer Arithmetic: Algorithms and Hardware Designs*. Oxford University Press, 2000. [10](#)
- [13] J.M. RABAEY, A.P. CHANDRAKASAN, AND B. NIKOLIC. *Digital integrated circuits: a design perspective*. Prentice Hall electronics and VLSI series. Pearson Education, 2ed edition, 2003. [3](#), [5](#), [35](#)

- 
- [14] M. SHEERAN. Parallel prefix network generation: an application of functional programming In Hardware Design and Functional Languages. In *Hardware design and Functional Languages (HFL07)*, Braga, Portugal, March 2007. 19
- [15] LIP6 UNIVERSITÉ PIERRE ET MARIE CURIE. Alliance VLSI CAD System. <https://soc-extras.lip6.fr/en/alliance-abstract-en/>. 31
- [16] CLIFFORD WOLF. Yosys open synthesis suite. <http://www.clifford.at/yosys/>. 31